

УДК 621.86

**Б.М. Гевко, І.І. Стойко, В.М. Клендій, Н.М. Марчук**  
 Тернопільський національний технічний університет імені Івана Пулюя  
**РЕЗУЛЬТАТИ ЕКСПЕРИМЕНТАЛЬНИХ ДОСЛІДЖЕНЬ СТІЙКОСТІ СВЕРЛА-МІТЧИКА М7-7Н**

*Досліджено стійкість сверла-мітчика М8\*125 при сверлінні отворів і нарізанні різі на вертикально-свердильному верстаті ЧПК2Р135Ф2. Матеріал листовий прокат товщиною 8мм, Сталь 08КП, Сталь20 і Ст45. Ключові слова: міцність, стійкість інструменту, різання матеріалів, режими різання.*

**Б.М. Гевко, І.І. Стойко, В.М. Клендій, Н.М. Марчук**  
**РЕЗУЛЬТАТЫ ЭКСПЕРИМЕНТАЛЬНЫХ ИССЛЕДОВАНИЙ УСТОЙЧИВОСТИ СВЕРЛА-МЕТЧИКОВ М7-7Н**

*Исследована устойчивость сверла-метчика М8 \* 125 при сверления отверстий и нарезании резьбы на вертикально-свердильном станке ЧПК2Р135Ф2. Материал листовой прокат толщиной 8мм, Сталь 08КП, Сталь20 и Ст45.*

*Ключевые слова: прочность, стойкость инструмента, резки материалов, режимы резания.*

**B.M. Gevko, I.I. Stoyko, V.M. Klendii, N.M. Marchuk**  
**RESULTS OF EXPERIMENTAL STUDY STUDY OF SQURLA MITCHIC M7-7N**

*The stability of the M8 \* 125 drill bit is explored when drilling holes and cutting a cut on a vertical drilling machine ЧПК2Р135Ф2. The material is flat-rolled 8mm thick, Steel 08KP, Steel20 and St45.*

*Key words: strength, tool stability, cutting materials, cutting modes.*

**Аналіз останніх досліджень і публікацій.** Питаннями дослідження міцності і стійкості різальних інструментів присвячені праці Вульфа А.М. [1], Костецький Б.І. [2], Крагельський І.В. [3], Макаров А.Д. [4], Ординарцев І.А. [5], Семенченко І.А. [6], Четвериков С.С. [7], Шагалова З.Ю. [8], Аршинов В.А. [9].

**Постановка питання.** Процес різання дуже складний. Результати його визначаються багатьма параметрами, іноді скритого характеру. Нерівномірність фізико-механічних властивостей оброблюваного матеріалу, його анізотропія, велика глибина фрезерування, деформування і нагрів, зміна різальної крайки зуба фрези, різні фізико-хімічні ефекти (налипання, окисні плівки тощо) появляються і зникають в процесі різання, і інші візуально непомітні фактори значно відбиваються на стійкості різального інструменту – нестабільність матеріалу інструменту, термічної обробки і заточки інструменту, його неконтрольовані параметри (мікрогеометрія різальної крайки, радіус її заокруглення), зміна зони жорсткості у зв'язку з режимами роботи верстата – все це у великій степені впливає на стійкість інструменту, а в кінцевому результаті – на продуктивність.

**Метою.** Метою експериментальних досліджень є дослідження стійкості мітчика у комбінованому інструменті свердло-мітчик, що у першу чергу дозволить обґрунтувати параметри обох інструментів у комбінації свердло-мітчик, оскільки стійкість комбінованого інструменту залежить якраз від стійкості мітчика, оскільки у свердлі можлива необмежена кількість переточок.

Експеримент проводимо за методикою, розробленою проф. Боксом при вивченні оптимізації процесів хімічної технології і в 1964 році застосований для випробування стійкості різального інструменту [3]. Він носить назву «метод оптимального планування». Для експериментального визначення стійкості свердла-мітчика створюється математична модель, яка описує поведінку даної організованої системи. Вона дає представлення про поведінку даної системи із зміною ряду факторів і створюється на основі досліджень. Комбінований інструмент свердло-мітчик зображено на рис. 1.

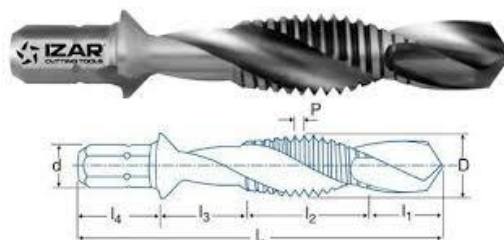


Рис. 1. Комбінований інструмент свердло-мітчик

Матеріал інструменту HSSG-E має наступний хімічний склад: С – 0,93%, Cr – 4,2%, Мо – 6,4%, W – 6,4%, V – 1,8%, Со – 5%.

Дослідження стійкості свердла-мітчика М8×1,25 проводимо на вертикально-свердильному верстаті з ЧПК 2Р135Ф2. Матеріал – листовий прокат товщиною 8 мм із сталі 08кп, сталь 20 і сталь 45.

Для визначення стійкості інструменту «свердло-мітчик» використовуємо математичну модель зміни стійкості.

Зміна стійкості інструменту  $T$  залежно від швидкості різання  $v$ , подачі на зуб  $s_z$  (визначається кількістю західних зубів мітчика) і твердістю оброблювального матеріалу  $HB$  визначається математичною моделлю [3]:

$$Tm = C v s_z^p HB^q \quad (1)$$

У даній залежності приймаємо  $T$  – залежна і  $v$ ,  $s_z$ ,  $HB$  – незалежні змінні.

Треба обмовитися: математична модель не описує систему в цілому, а лише окремий комплекс факторів, які нас цікавлять.

В логарифмічному масштабі рівняння буде поліномом першого степеню:

$$\ln T = \frac{\ln C}{m} + \frac{1}{m} \ln v + \frac{p}{m} \ln s_z + \frac{q}{m} \ln HB$$

або, враховуючи помилки експерименту  $\varepsilon$ ,

$$y = b_0 + b_1 x_1 + b_2 x_2 + b_3 x_3 + \varepsilon \quad (2)$$

Експеримент плануємо на основі багатофакторного аналізу, тобто одночасно варіюємо усі змінні фактори,  $x_1(v)$ ,  $x_2(s_z)$ ,  $x_3(HB)$ . Необхідно визначити постійну  $b_0$  і коефіцієнти  $b_1$ ,  $b_2$ ,  $b_3$ . Кожна із цих змінних варіюється на двох рівнях ( $2^k$ ), де  $k$  – число змінних.

Швидкість різання досліджуємо для 3, 5, 8 м/хв., що відповідає обертам фрези 120, 200, 320 об/хв. відповідно; подачу на зуб мітчика використовуємо 0,18 (7 західних зубів), 0,25 (5 західних зубів) 0,38 (3 західні зуби) мм/зуб; твердість матеріалу сталі  $HB$  – 126 (сталь 08кп), 159 (сталь 20), 193 (сталь 45).

План дванадцяти дослідів передбачає дві серії по шість дослідів у кожній – шість основних і шість додаткових. Вибір режимів обробки проводиться таким чином, щоб спростити кодування із врахуванням можливостей обладнання і граничних режимів обробки, як це показано у табл.1.

Таблиця 1

Режими різання і кодові позначення

Рівень	Режими дослідження			Кодові позначення		
	$v$ м/х в.	$s_z$ мм/зу б	$HB$	$x_1$	$x_2$	$x_3$
Верхній	8	0,38	193	1	1	1
Середній	5	0,25	159	0	0	0
Нижній	3	0,18	126	-1	-1	-1

Ці рівні закодовані за допомогою рівнів перетворення таким чином, щоб верхній рівень відповідав +1, а нижній -1.

$$\left. \begin{aligned} x_1 &= \frac{2(\ln v - \ln 8)}{(\ln 8 - \ln 3)} + 1 \\ x_2 &= \frac{2(\ln s_z - \ln 0,38)}{(\ln 0,38 - \ln 0,18)} + 1 \\ x_3 &= \frac{2(\ln HB - \ln 193)}{(\ln 193 - \ln 126)} + 1 \end{aligned} \right\} \quad (3)$$

Тут, в плані експерименту, наприклад, за одиницю швидкості нарізання різі прийнята величина  $\frac{\ln 8 - \ln 3}{2}$ . Таким чином швидкість нарізання різі  $v$  перетворюється шляхом ділення її

на прийняттю одиницю.

Аналогічно поступаємо з подачею  $s_z$  і твердістю  $HB$ . Для спрощення розрахунків композиційний план будується згідно так званого "італійського куба" [3], побудованого на трьох ортогональних координатах з початком в центрі куба (рис. 2). На вершинах куба позначені номери дослідів, режимів нарізання різі і твердості матеріалу заготовки згідно табл. 2.

Дослідні точки позначені темними кружками згідно перших чотирьох дослідів; додатково два досліді ставляться в центрі куба для перевірки гіпотези адекватності (досліді 9 і 10). Якщо гіпотеза адекватності не проходить, виконуємо ще шість дослідів: добудовуються ще вершини куба (позначені кружками) і ще два досліді в центрі.

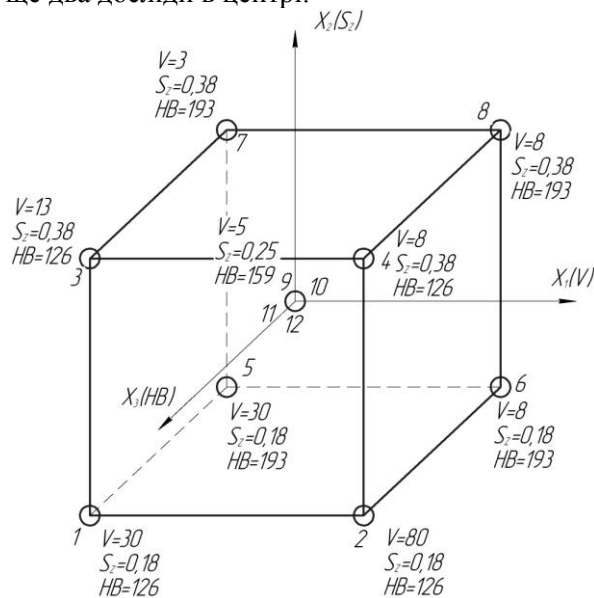


Рис 2. Композиційний план дослідження згідно "італійського куба"

Таблиця 2

Режими різання, твердість матеріалу, кодові значення і стійкість інструменту

№ з/п	№ серії	Режими різання			Кодові позначення			T, хв.	y=lnT
		v, м/хв.	$s_z$ , мм/зуб	HB	$x_1$	$x_2$	$x_3$		
1	2	3	0,18	126	-1	-1	-1	90	4,49
2	1	8	0,18	126	1	-1	-1	60	4,09
3	1	3	0,38	126	-1	1	-1	70	4,24
4	2	8	0,38	126	1	1	-1	45	3,81
5	1	3	0,18	193	-1	-1	1	35	3,55
6	2	8	0,18	193	1	-1	1	25	3,21
7	2	3	0,38	193	-1	1	1	20	2,99
8	1	8	0,38	193	1	1	1	12,5	2,52
9	1	5	0,25	159	0	0	0	40	3,68
10	1	5	0,25	159	0	0	0	45	3,8
11	2	5	0,25	159	0	0	0	40	3,68
12	2	5	0,25	159	0	0	0	45	3,8

Оцінка параметрів.

На основі результатів серії №1 із шести дослідів зручно оцінити чотири коефіцієнти в емпіричній формулі

$$y=b_0+b_1x_1+b_2x_2+b_3x_3,$$

використовуючи метод найменших квадратів і властивості скалярного добутку основних векторів.

Згідно способу найменших квадратів необхідно, щоб сума квадратів відхилень фактичних значень у від формальних, отриманих за рівнянням (3)  $y_{x_1x_2x_3}$ , була найменшою, тобто:

$$\Sigma(y-y_{x_1x_2x_3})^2 = \min \tag{4}$$

Ліву частину виразу (4) позначимо буквою  $f$  ( $f$  – функція від невідомих параметрів  $b_0, b_1, b_2, b_3$ ).

Мінімум цієї функції знайдемо із рівнянь:

$$\frac{df}{db_0} = 0; \quad \frac{df}{db_1} = 0; \quad \frac{df}{db_2} = 0; \quad \frac{df}{db_3} = 0. \quad (5)$$

Продиференціювавши, напишемо систему цих рівнянь у кінцевому вигляді:

$$\begin{aligned} \sum y &= nb_0 + b_1 \sum x_1 + b_2 \sum x_2 + b_3 \sum x_3; \\ \sum yx_1 &= b_0 \sum x_1 + b_1 \sum x_1^2 + b_2 \sum x_1 x_2 + b_3 \sum x_1 x_3; \\ \sum yx_2 &= b_0 \sum x_2 + b_1 \sum x_2 x_1 + b_2 \sum x_2^2 + b_3 \sum x_2 x_3; \\ \sum yx_3 &= b_0 \sum x_3 + b_1 \sum x_3 x_1 + b_2 \sum x_3 x_2 + b_3 \sum x_3^2. \end{aligned} \quad (6)$$

Рівняння (6) дають можливість визначити  $b_0 = \frac{\sum y}{n}$ , де  $n$  – число дослідів;  $n = 6$ .

$$b_1 = \frac{\sum yx_1}{\sum x_1^2} = \frac{\sum yx_1}{4}; \quad b_2 = \frac{\sum yx_2}{\sum x_2^2} = \frac{\sum yx_2}{4}; \quad b_3 = \frac{\sum yx_3}{\sum x_3^2} = \frac{\sum yx_3}{4}. \quad (7)$$

Необхідно додати, що інші члени рівнянь (6) будуть рівні нулю, оскільки вектори  $x_1, x_2, x_3$  є ортогональними і  $\sum x_i = 0$ .

Очевидно, було б простіше не вирішувати рівнянь (4)–(6), а використати матриці  $(x'x)$  і  $(x'x)^{-1}$ :

$$x'x = \begin{vmatrix} 6 & 0 & 0 & 0 \\ 0 & 4 & 0 & 0 \\ 0 & 0 & 4 & 0 \\ 0 & 0 & 0 & 4 \end{vmatrix}, \quad [x'x]^{-1} = \begin{vmatrix} \frac{1}{6} & 0 & 0 & 0 \\ 0 & \frac{1}{4} & 0 & 0 \\ 0 & 0 & \frac{1}{4} & 0 \\ 0 & 0 & 0 & \frac{1}{4} \end{vmatrix}.$$

Залежності для визначення коефіцієнтів  $b_0 \dots b_3$  згідно рівнянь (7) будуть мати вигляд:

$$\left. \begin{aligned} b_0 &= 1/6(y_2 + y_3 + y_5 + y_8 + y_9 + y_{10}) \\ b_1 &= 1/4(y_2 - y_3 - y_5 + y_8) \\ b_2 &= 1/4(-y_2 + y_3 - y_5 + y_8) \\ b_3 &= 1/4(-y_2 - y_3 + y_5 + y_8) \end{aligned} \right\}. \quad (8)$$

Тут індекси при  $y$  визначають номери дослідів (табл. 2).

Підставляючи в останні рівняння (8) значення дослідів із табл. 2, отримаємо:

$$b_0 = \frac{1}{6}(4,09 + 4,24 + 3,55 + 2,52 + 3,68 + 3,80) = 3,65;$$

$$b_1 = \frac{1}{4}(4,09 - 4,24 - 3,55 + 2,52) = -0,3;$$

$$b_2 = \frac{1}{4}(-4,09 + 4,24 - 3,55 + 2,52) = -0,22;$$

$$b_3 = \frac{1}{4}(-4,09 - 4,24 + 3,55 + 2,52) = -0,57.$$

У цьому випадку для серії дослідів №1 отримаємо формулу для визначення стійкості прорізних фрез:

$$\ln T \approx 3,65 - 0,3x_1 - 0,22x_2 - 0,57x_3. \quad (9)$$

Формулу (9) необхідно розшифрувати згідно рівнянь (3), тобто:

$$x_1 = \frac{2(\ln v - \ln 8)}{\ln 8 - \ln 3} + 1 \approx \frac{2(\ln v - 2,07)}{2,07 - 1,09} + 1 = 2,04 \ln v - 4,22;$$

$$x_2 = \frac{2(\ln s_z - \ln 0,38)}{\ln 0,38 - \ln 0,18} + 1 \approx \frac{2(\ln s_z + 0,96)}{-0,96 + 1,71} + 1 = 2,66 \ln s_z + 3,55;$$

$$x_3 = \frac{2(\ln HB - \ln 193)}{\ln 193 - \ln 126} + 1 \approx \frac{2(\ln HB - 5,26)}{5,26 - 4,83} + 1 = 4,65 \ln HB - 23,46.$$

Підставляємо значення  $x_1$ ,  $x_2$ ,  $x_3$  в рівняння (9) і отримуємо уточнену формулу для визначення логарифма стійкості фрези:

$$\ln T = 3,65 - 0,3(2,04 \ln v - 4,22) - 0,22(2,66 \ln s_z + 3,55) - 0,57(4,65 \ln HB - 23,46) = 14,98 - 0,61 \ln v - 0,58 \ln s_z - 2,65 \ln HB.$$

Отже, кінцева формула для визначення стійкості комбінованого свердла-мітчика для оброблення сталених деталей прийме вигляд:

$$T = \frac{e^{14,98}}{v^{0,61} s_z^{0,58} HB^{2,65}} = \frac{3,06 \times 10^6}{v^{0,61} s_z^{0,58} HB^{2,65}}, \text{ хв.} \quad (10)$$

Після статистичного аналізу результатів серії №1, коли виявилися сильно великі інтервали стійкості для 95% достовірності, були виконані ще шість дослідів серії №2 досліджень.

В результаті всіх 12 дослідів відповідно до вище наведених розрахунків і табл. 2, отримуємо уточнені коефіцієнти для визначення стійкості свердла-мітчика:

$$b_0 = \frac{1}{12} \left( 4,49 + 4,09 + 4,24 + 3,81 + 3,55 + 3,21 + 2,99 + 2,52 + 3,68 + \right. \\ \left. + 3,80 + 3,68 + 3,80 \right) = 3,65;$$

$$b_1 = \frac{1}{8} (-4,49 + 4,09 - 4,24 + 3,81 - 3,55 + 3,21 - 2,99 + 2,52) = -0,21;$$

$$b_2 = \frac{1}{8} (-4,49 - 4,09 + 4,24 + 3,81 - 3,55 - 3,21 + 2,99 + 2,52) = -0,22;$$

$$b_3 = \frac{1}{8} (-4,49 - 4,09 - 4,24 - 3,81 + 3,55 + 3,21 + 2,99 + 2,52) = -0,54.$$

$$\ln T = 3,65 - 0,21(2,04 \ln v - 4,22) - 0,22(2,66 \ln s_z + 3,55) - 0,54(4,65 \ln HB - 23,46) = 14,85 - 0,42 \ln v - 0,58 \ln s_z - 2,51 \ln HB$$

$$T = \frac{e^{14,85}}{v^{0,42} s_z^{0,58} HB^{2,51}} = \frac{2,2 \times 10^6}{v^{0,42} s_z^{0,58} HB^{2,51}}, \text{ хв.} \quad (11)$$

Аналіз формули (11) показує, що результат обчислення мало відрізняється від результату, отриманого за формулою (10), але 95-процентні довірчі інтервали значно покращилися завдяки більшій кількості дослідів.

Діаграма зміни стійкості від твердості оброблювального матеріалу зображена на рис. 3

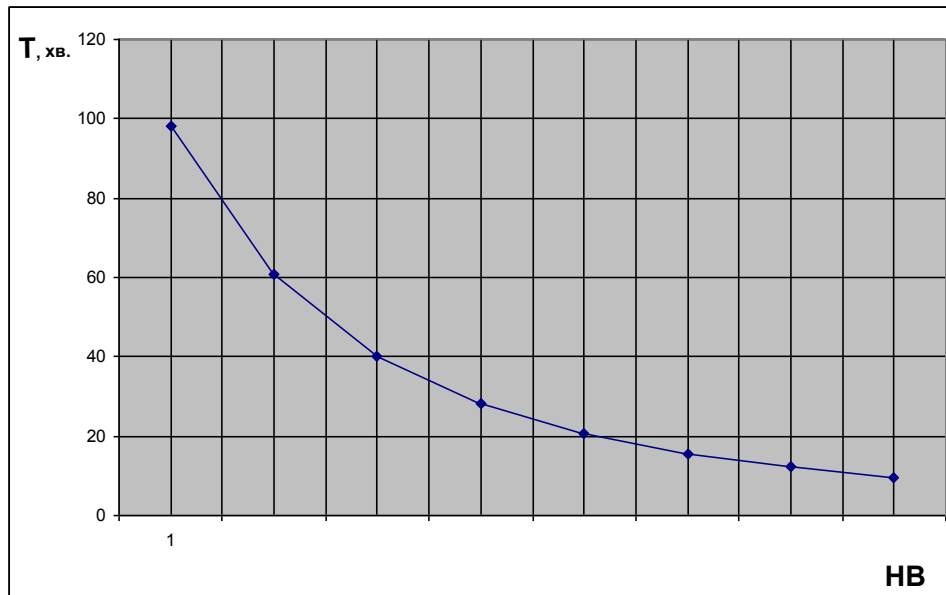


Рис. 3. Діаграма зміни стійкості мітчика від твердості оброблювального матеріалу

**Висновки.** На основі проведених досліджень можна зробити наступні висновки:

1. Досліджено стійкість мітчика у комбінованому виконанні зі сверлом вертикально-свердлильному верстаті ЧПК2Р135Ф2. Матеріал – листовий прокат товщиною 8мм, Сталь 08КП, Сталь20 і Ст45. Для проведення досліджень використовували математичну модель зміни стійкості. Залежно від швидкості різання, подачі на зуб і твердості оброблюваного матеріалу.

2. Досліджено зміни стійкості від твердості оброблювального матеріалу.

#### Список використаних джерел:

1. Вульф А.М. Резание метал лов. Л.:Машиностроение. 1973, 495с.
2. Костецкий Б.И. Трение, смазка и знос в машиностроении. М.: Машиностроение. 1970, 396с.
3. Крагельский И.В. Трение и знос. М.:Машиностроение. 1968, 480с.
4. Макаров А.Д. Износ и стойкость режущих инструментов. М.:Машиностроение. 1966, 264с.
5. Ординарцев и.А. Справочник инструментальщика. Л.:Машиностроение. 1987, 848с.
6. Семенченко И.И. и др.. Проектирование метало-режущих инструментов. М.:Машгиз, 1962, 950с.
7. Четвериков с.С. Металорежущие инструменты. М.:Висшая школа. 1965, 650с.
8. Шагалова З.Ю., Сиротенко Н.Г. Конструювання різального інструменту. Видавн. Вища школа. К. 1970, 266с.
9. Аршинов В.А., Алексеев Г.А. Резание металлов и режущий инструмент. М.:Машиностроение. 1976, 440с.

Стаття надійшла до редакції 20.06.2018